Ⅳ-4 コンクリートの対数減衰率に関する23の実験

立命館大学理工学部

で 夏 0 明石外世樹

工 概説

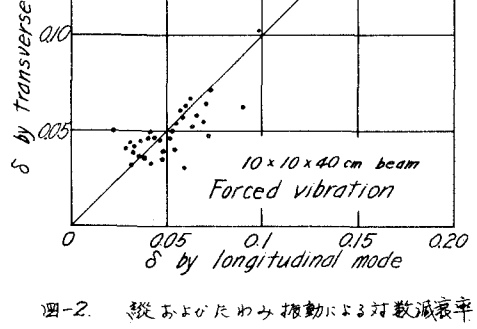
コンクリートの強度を音響試験によ 係数曲線,強度一音速曲線は配合,乾 湿によって寒ったものとなる。 筆者り 教を考慮すれば、配合による影響を除 くことができ、強度推定精度もかなり 向上することが到明している。一方粘 性的性質を示す対数減衰率については すでに、Kesler、趣口、Chang, かよび

って知りんとする場合、強度一動彈性 はすでに復者の関係に超音液の激衰定 Jones のりによって、かなり詳細を研究

山路 文夫 x/0⁴ Cured in water, air 1:1:2 1:1.5:3 1:2:4 1:3:6 100 600 Compressive strength

動彈性係 数と圧縮強度

が行われているが、 対数減衰率が実験 的に、微、ためみ 挟の各振動方式に よって相関しない かどうか、また配 合が大王〈吏化し た場合、あるいは 乾湿によって後度 動稱性係数, 対数 滅衰率の3者の関



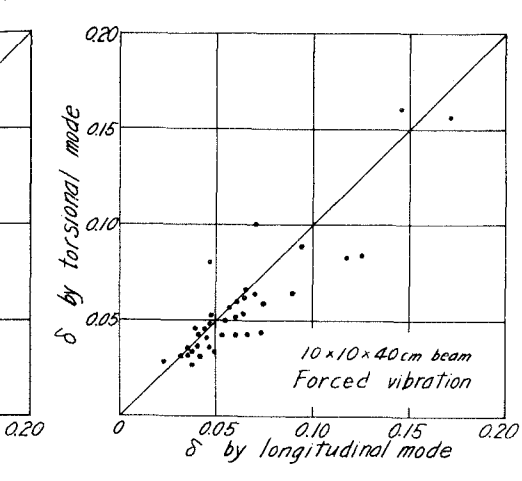


图-3. 羧却的换为振動15年3对数减衰率

るかも調べた。

揉がどのようにな

また一方,強制振動の共振曲 搬による対数減衰率は、駆動子 ピックアップ等の周波数時性が 理想状態に云か水下, 測定值9 信頼性がないことからして、新 らしく 自由減衰振動の波形を直 接觀側できる装置を考案したの

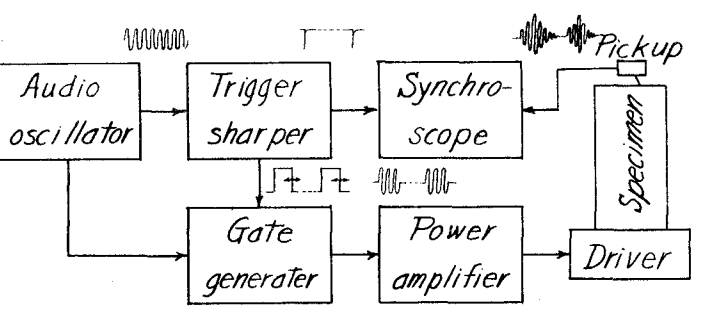


图-4. 自由减衰波形測定装置

で、その微略をなっ、係せて、実践になる。実践によるなが、実践をはなる。実践をはなる。ないない。

図-2,3 に示 3 連りで、余り 3 着间に違い認 められない。

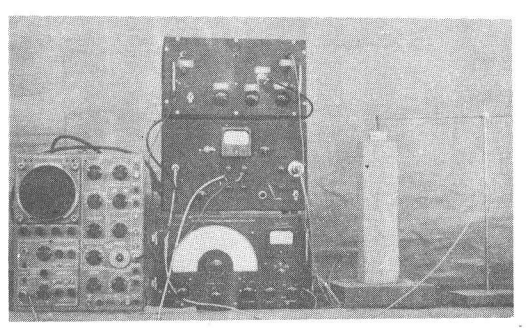
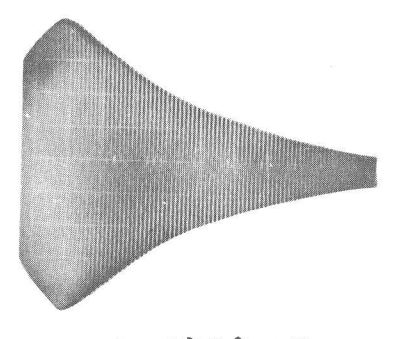
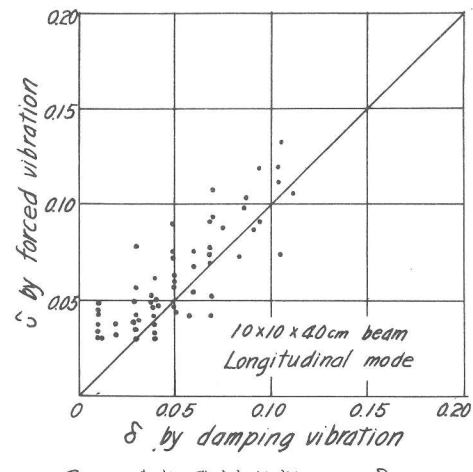


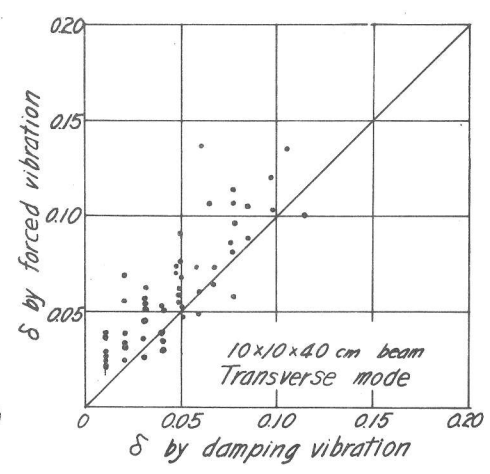
図-5. 測定装置の外觀



四-6 自由减衰振動汲形



四-7. 自由,強制振動による 8.



四-8. 自由,強制両振動による 5.

4. 自由減衰振動による対数減衰率測定装置

図-4 はプロックダイヤグラムで図ー5 はその外観、図ー6はプラン管の派形で、対殺滅豪率 S=2.30 $\log_{10} M/A$ から側定した。

5. 自由振動と強制振動とに よる対数減衰率

図−2,8 に示すように両者に 差違かないようごろ3。

6. 強度, 動彈性係数かよが 対級滅衰率との関係

型-9に示すようにかなりナ ラバッド語果と左るが、乾湿の

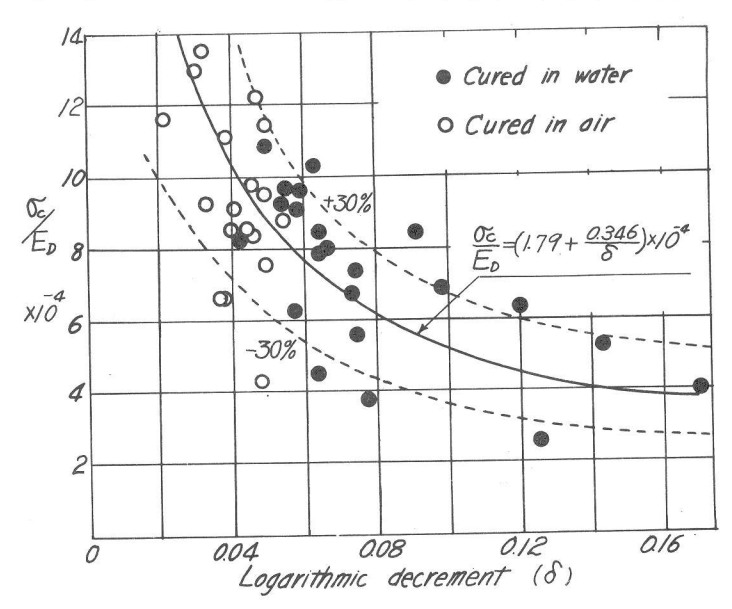


图-9 G-ED-S 93者9岗绿

影響が除まうるようで、これについても別の実験で述べる予定である。